



WL70

Carregadeira de rodas

O pacote de força

Graças à mais recente tecnologia de motor de acordo com os mais recentes padrões de emissões, a carregadeira de rodas WL70 oferece um motor extremamente eficiente, mas também potente, o que faz da máquina um pacote de força em uso. Isso é apoiado por uma construção de braço de carga muito robusta. A altura de levantamento e a potência do motor lideram na classe de carregadeiras de rodas de 7 t. Isso permite um manuseio rápido e eficiente de materiais. Com a opção de 40 km/h, a máquina também pode ser movida rapidamente e, portanto, pode ser usada com flexibilidade e eficiência.



Destaques

- Velocidade de {30/40 km/h}{18.64/24.85 mph}
- A carregadeira de rodas como um transportador de dispositivos
- Display digital claro de 3,5 polegadas
- Ambiente de trabalho agradável
- Console do joystick sobre as molas do assento do condutor

Dados técnicos

■ Dados do motor padrão

Fabricante do motor	Perkins
Tipo de motor	904J-E36TA
Cilindro	4
Potência do motor	100 kW
Potência do motor	136 cv
na rotação máxima	2.200 rpm
Cilindrada	3.621 cm ³
Tipo de agente de refrigeração	Água/ar de alimentação
Nível das normas de emissões	V
Pós-tratamento de gases de escape	DOC/DPF/SCR

■ Sistema elétrico

Tensão operacional	12 V
Bateria	135 Ah
Dínamo	85 A

■ Pesos

Capacidade da pá (pá padrão)	1,10 m ³
Peso operacional	7.140 kg
Carga de despejo com pá - máquina reta, bastidor de elevação horizontal	4.762 kg

Carga de despejo com pá - máquina dobrada, bastidor de elevação horizontal 3.926 kg

Carga de despejo com garfo para paletes - máquina estendida, bastidor de elevação horizontal 4.254 kg

Carga de despejo com garfo para paletes - máquina dobrada, bastidor de elevação horizontal 3.559 kg

■ Táxi do motorista

táxi do motorista	Cabine
-------------------	--------

■ Quantidades de enchimento

Capacidade do tanque de combustível	105 l
Capacidade do tanque de óleo hidráulico	95 l
Capacidade do tanque de solução de ureia	19 l

■ Acionamento

Acionamento	hidrostático
Acionamento de translação	Eixo articulado
Velocidades de marcha	2
Eixo	PA 1422/2
Velocidade de marcha padrão	0-20 km/h
Velocidade de marcha opcional 1	0-30 km/h
Velocidade de marcha opcional 2	0-40 km/h

Freio de serviço	Freio de disco (combinado com o freio de estacionamento)
Freio de estacionamento	Freio de serviço e de estacionamento centrais no trem de acionamento nas 4 rodas
Bloqueio do diferencial	Eixo dianteiro 100% e eixo traseiro

■ Sistema hidráulico

Hidráulica de deslocamento - pressão de trabalho (máx.)	455 bar
Hidráulica de trabalho - caudal de descarga (máx.)	100 (115-150) l/min
Hidráulica de trabalho - pressão de trabalho (máx.)	210 bar

■ Cinemática

Tipo de cinemática	Z
Cilindro de elevação	2
Cilindro de despejo	1

Sistema de troca rápida hidráulico

■ Comando

Tipo de direção	Direção articulada hidráulica
Cilindro de guia	2
Ângulo pendular	±12 Grau

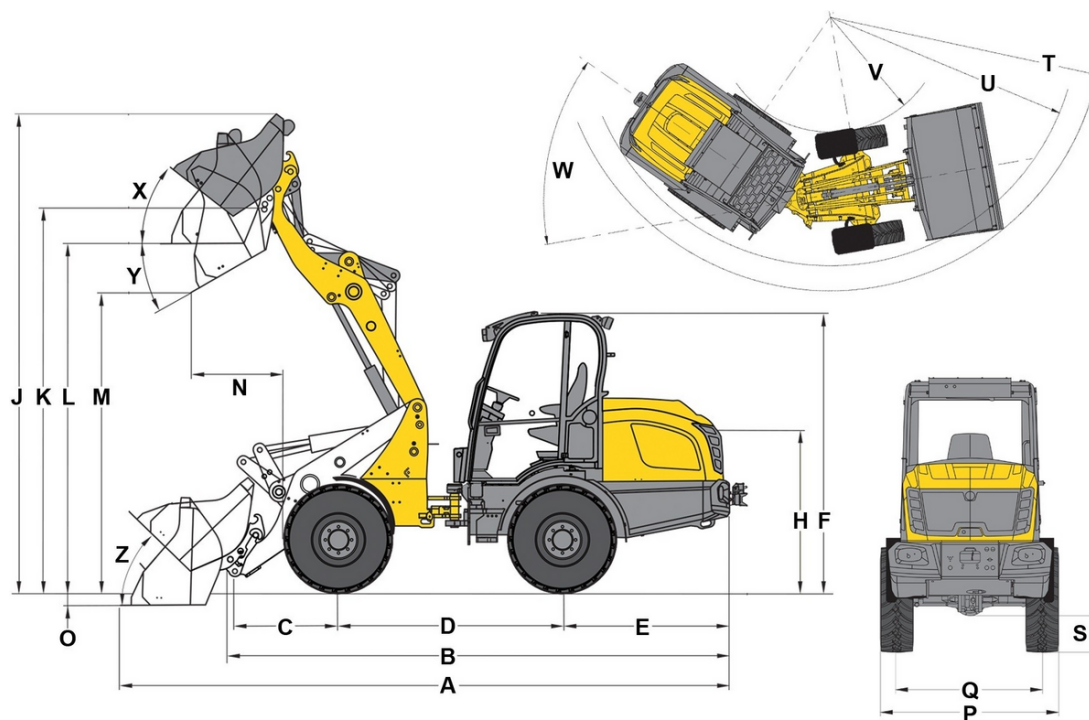
■ Valores característicos de ruído

Nível de pressão de ruído médio LwA (Cabine)	101,4 dB(A)
Nível de pressão de ruído garantido LwA (Cabine)	103 dB(A)
Nível de ruído médio LpA especificado (Cabine)	74 dB(A)

■ Outras informações

FSD = Capota de proteção
 DPF = Filtro de partículas diesel
 DOC = Catalisador de oxidação de diesel
 SCR = Redução catalítica seletiva
 Cálculo da carga de tombamento de acordo com a norma ISO 14397

Medidas



A	Comprimento total	5.898 mm
B	Comprimento total sem pá	4.780 mm
C	Articulação da pá (até o centro do eixo)	991 mm
D	Distância entre eixos	2.150 mm
E	Passagem traseira	1.676 mm
F	Altura com cabine	2.693 mm
H	Altura do assento	1.609 mm
J	Altura de trabalho total	4.536 mm
K	Articulação da pá (altura de elevação máx.)	3.686 mm
L	Altura de carregamento	3.375 mm
M	Altura de descarregamento	2.840 mm
N	Alcance (em M)	850 mm
O	Profundidade da escavação	74 mm
P	Largura total	1.829 mm
Q	Largura da esteira	1.422 mm
S	Distância do solo	375 mm
T	Raio externo máximo	4.341 mm
U	Raio no rebordo externo	3.686 mm
V	Raio interior	1.666 mm
W	Ângulo de dobragem	42 °
X	Ângulo de retrocesso com altura de elevação máx.	33 °
Y	Ângulo de despejo	33 °
Z	Ângulo de retrocesso no solo	39 °